

各種河床面上の流れの内部構造に関する実験的研究

京都大学工学部 正員 中川博次 京都大学工学部 正員 祐津家久
 京都大学工学部 正員 富永晃宏 京都大学大学院 学生員〇若井 健

1. まえがき 実河川で見られる河床形態には様々なものが存在するが、本研究はその一つである綿筋(sand ribbons)に注目し、そのような河床面上における流れの構造がどのようになるかを明らかにしようとするものである。すなわち、長方形断面を有する一様な管路に、水流より乱れ計測が正確かつ容易な空気乱流を発生させ、滑面、粗面及び滑・粗面混合などの各種底面状態を作り、一成分ボートワイヤ流速計によること、管路横断面内の流速分布を測定することにより、流れの内部構造特に2次流の解明を図り、開水路流れのシミュレーションを行おうとするものである。

2. 実験装置および方法 図-1は、本研究で用いた風洞であり、 $8\text{cm} \times 18\text{cm}$ の長方形断面の管路流水である。ここで綿筋の形成立れる河床面上の流れにつけて村本¹⁾は、砂の洗掘部(粗度の大さい部分)の方が、堆積部(粗度の小さい部分)より、主流の流速は遅くなることを示した。Miller²⁾は、開水路底に粗面と滑面を交互に設置し、流速を詳細に測定した結果、粗面上の方が滑面上より流速は遅くなること、また、粗面上では下降流が、滑面上では上昇流が現われ、このような底面状態においては、いかゆる並列流せん流れが存在することを示した。以上のことに鑑み本研究では底面状態を全滑面、全粗面、粗・滑面混合(図-2)とし、順にcase 1, 2, 3, 5とよぶことにする。case 3の粗度の配置は、測定断面内に2次流が存在すれば、その強度は管路の高さの半分、つまり 4cm になるであろうとの予測のもとで決定された。case 5は、case 3の粗度の幅を 2cm に半分にした時に結果たし2次流が存在するかを確かめることを目的とする。

3. 実験条件および考察 図-3はcase 1, 2の平均流速分布である。两者共に片対数紙上で直線分布し、対数則が成立することがわかる。図-4はcase 2の等流速線図である。それが 6cm 以内の管の中央部では、平均流速の横断方向への変化はほとんど

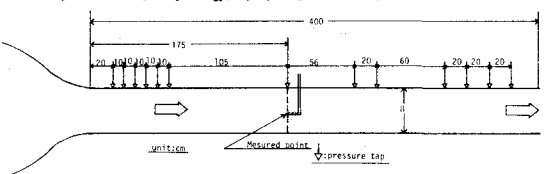


図-1. 実験装置の外観

	\bar{U} (m/s)	U_{max} (m/s)	Re
CASE 1	4.528	5.192	11985
CASE 2	3.850	4.943	11535
CASE 3	(S) 4.068 (R) 4.430	5.280 5.362	12294 13225
CASE 5	(S) 4.470 (R) 4.293	5.585 5.614	13500 12965

(S):Over the smooth bed
(R):Over the rough bed

表-1 実験条件

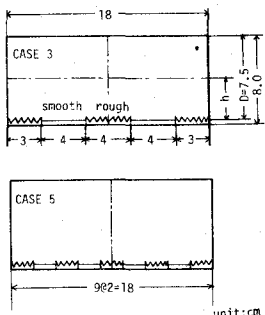


図-2 粗度の配置

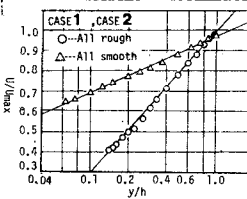


図-3. 流速分布

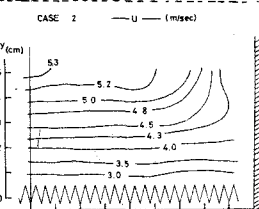


図-4. 等流速分布

两者共に片対数紙上で直線分布し、対数則が成立することがわかる。図-4はcase 2の等流速線図である。それが 6cm 以内の管の中央部では、平均流速の横断方向への変化はほとんど

Hiroji Nakagawa, Ichisa Nezu, Akihiro Tominaga & Takeshi Wakai (Kyoto University)

となり。すなわち、底面状態が横断方向で一様の時は、河洞内の流速に由これや2次流等はほとんどないものといえる。図-5、図-6は、それより case 3, case 4 の平均流速分布である。これらより、次のことがわかる。

- (1) 滑面上、粗面上とも流速分布はほぼ同じ高さで“屈曲点”をもつ。すなわち、この屈曲点と境にしき、底面近傍の Inner zone と、底面から十分離れた Outer zone に領域が分けられる。(2) 滑面上では、屈曲点の前後で直線の勾配が緩かに急になつてなる。このことから、滑面上の Outer zone は全滑面の場合と比較して薄いシアーエモリティ、乱れエネルギーも大きいと推測される。(3) 粗面上では、滑面上と全く逆の結果となる。すなわち、粗面上の Inner zone の乱れエネルギーは全滑面の場合より大きい。(4) Outer zone では、底面の影響を平均的に受けたため、直線の勾配は底面の状態にかかわらずほぼ一定である。(5) case 3 では、特に粗面上における勾配の変化が小さい。case 3 では並列せん流が最も生じやすく、エネルギーの横断方向への輸送が活発に行われるのに對し、case 5 では、エネルギー差が小さく、並列せん流は発生しにくいものと考えられる。

次に渦度方程式により、せん流の検討を行う。渦度成分を(3), (4)とし、かつ流れは底下方向に一様とするとき成分の渦度方程式は

$$\frac{\partial \zeta}{\partial t} + (U_x \frac{\partial \zeta}{\partial x}) = \frac{\partial^2}{\partial z^2} (\bar{w}^2 - \bar{U}_x^2) + \left(\frac{\partial^2 \zeta}{\partial z^2} - \frac{\partial^2 \zeta}{\partial x^2} \right) \bar{w} \quad \dots \dots (1)$$

となる
底面方向の輸送項 P_1 P_2

P_1 と P_2 を仮定し、実測結果 $\bar{w}^2 - \bar{U}_x^2 = U_*^2 f(z/h) \approx U_*^2 (1 - \xi h)$ となる

を用いて、 $P_1 = 2U_* h \cdot \frac{\partial \zeta}{\partial z}$ となる (h は最大流速点までの距離)

(1) より $\frac{\partial \zeta}{\partial z} = 0 \Rightarrow P_1 = 0 \Rightarrow \xi = 0$ となる (4) がわかる。

すなわち $\frac{\partial \zeta}{\partial z}$ が正から負へ変化すると図-7 に示すようにらせん流が存在し、その部分で下降流が生じる。case 3 の場合の U_* の横断方向の分布を図-7 に示す。この図からわかるように、Inner zone では、 U_* は粗面中央部を境に正→負へ変化しており、このためせん流が発生し、下降流が生じているものと思われる。また図-9 は、case 3 の平均流速の等価線であり、粗面上の流れは、滑面上より遅くなる。このことから、(3) がわかる。

4. あとがき 今回の実験では、河床に粗度を設けた場合、2 次流の生起は粗度の幅のスケールに依存するこことがわかった。

しかし、本実験での粗面頂部は滑面位置より若干高く、実河川の幾筋形状と相違するから、今後、滑面位置を粗面頂部より高くおこなう、同様の実験を行なう必要があると思われる。

〔参考文献〕 1) 村井三、東大防災研年報 (1977) 2) Müller, et al. I.A.H.R (1980)

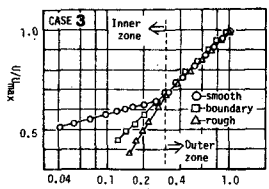


図-5 流速分布

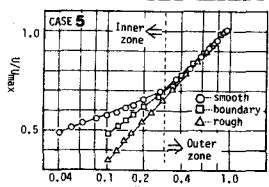


図-6 流速分布

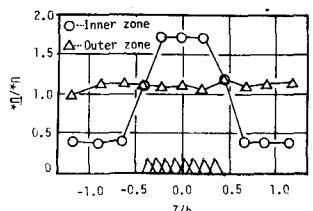


図-7 U_* の横断方向分布

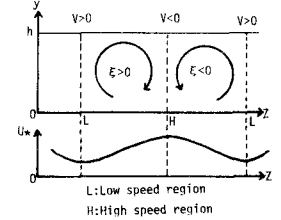


図-8, U_* と渦度の関係

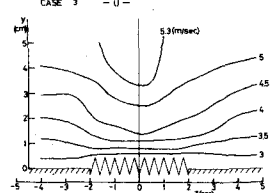


図-9 等価線分布